

仙台火力発電所 岸壁地区貯炭場地盤改良工事について

東北電力 K.K. 仙台火力発電所建設所

梶 居 良 明

まえがき

仙台火力発電所は近年著しく増加の傾向を示している東北地区の電力需要に対処して、東北電力の系統火力発電所として、昭和32年4月に建設が着手され、1号機175MWは既に昨年11月1日より営業運転に入っており、2号機175MWも近く発電開始の状況である。

発電所の敷地は塩釜港の外港部代ヶ崎浜と航路との間の約170,000m²の海面を埋立して造成されたものであり、在来の海底土砂は非常に軟弱な冲積粘土が厚く堆積している。貯炭場は発電所本館北側、航路寄りの約38,000m²の面積で有効貯炭容量は175,000ton、計画最大貯炭高は10m(10t/m²)であり、この貯炭載荷に必要な岸壁地区地盤の剪断強度は3~3.5t/m²であるが、在来の海底地盤は大略2t/m²に過ぎない。これがため昭和32年4月より、貯炭開始の4月初旬を目標にサンドドレン、ウェルポイント併用工法を採用して面積約4,200m²の地盤改良工事を実施した。

本工事はサンドパイル設置にウォーターデット穿孔法を用い、又圧密圧力の一部にウェルポイントに依る地下水低下法を利用して、比較的短期間に所期の効果を挙げ得たので、ここにその工事概要を報告して御参考に供したい。

§.1 土質の概要

塩釜港一帯は元来沈降海岸と云われているが、地盤改良区域内

で工事以前に実施した3ヶ所のボーリング及びノック本のシンオールサンプリングによる土質調査の概要は次の如くである。

即ち基準標高を塩釜港基準水面（S.P.）に採ると、柱状図によれば敷地の埋立高さは S.P.+3.5m で、在来海底面は S.P.-2.0m であり、この間の埋立土砂はシルト質砂である。この海底面下約2mの厚さは漂砂の層であり、この砂層の下は貝殻交りのシルト質粘土ローム乃至シルト質ロームの層が約1.0m～1.5mの厚さで岩盤上に堆積している。

この粘土層の土性試験結果は大略次の如くである。

a) 物理的性質

粒子比重 ; G 2.39 ~ 2.66 平均 2.46

含水比 ; W % 28.3 ~ 115.1 " 100

空隙比 ; e 0.08 ~ 0.84 " 0.48

粘土分析 ; 粘土 30%~7% シルト 60%~53%
砂 10%~40%

液性限界 ; Lw % 44.3 ~ 85.3 平均 65.2

塑性限界 ; Pw % 20.0 ~ 36.0 " 29.1

塑性指数 ; PI 22.4 ~ 51.3 " 36.1

A C 法 ; 大体 CH に属し A 線に沿っている。

b) 圧縮、剪断試験

圧縮強度 ; σ_u kg/cm² 0.026~0.591 平均 0.395

粘着力 ; C kg/cm² 0.07~0.26 " 0.204

鋭敏比 ; (8 ~ 12) 推定値である

内部摩擦角 ; 中 $1^{\circ}30' \sim 14^{\circ}-20'$

c) 圧密試験

先行荷重 ; P_0 kg/cm² 0.4 ~ 0.9 平均 0.61

圧縮指数 ; Cc 0.83 ~ 1.05 " 0.90

圧密係数 ; Cm cm²/sec $2.39 \times 10^{-4} \sim 5.17 \times 10^{-4}$ " 3.7×10^{-4}

以上の試験結果よりこの粘土層の含水比は極めて大きいと云うことではないが、液性限界を大きく越しており、加えて超鋭敏な粘

土であることから地盤改良に当っては特に地盤を攪乱させない工法の採用が必要な土質であった。

§.2 地盤改良計画

石炭載荷を行った場合の円弧滑り面を種々検討した結果、図2-1の様な半径100mの円弧が最も危険となつた。然し乍ら図に示す岸壁前後面40mの間は既に昭32年2月より昭和33年2月にかけてサンドドレン工事を実施しているので、今回の改良区域はこれに接続する貯炭場側の中30mとした。

前述の円弧滑り面で安全率 $F_s = 1.2$ とした場合の粘土層の必要剪断強度は内部摩擦角を無視すると、粘着力は $C = 3.5 t/m^2$ となる。従つて施工期間を考慮して2月初旬の貯炭開始時期に於いて、圧密期間2ヶ月にて $C = 3 t/m^2 (F_s = 1.0)$ 、圧密完了時の目標粘着力は $3.5 t/m^2$ を得る計画で、サンドドレン改良工事を実施することとした。

§.3 設計概要

前記土質試験の結果を勘案して、全改良区域に於ける粘土層中央部の平均的な粘土を想定して設計を進めることとした。

a) 圧密圧及び圧密率の決定

先行荷重 $P_0 = 6.1 t/m^2$ 、圧縮指数 $C_c = 0.9$ 、 $e = 2.48$ 、 $e_0 = 2.30$ の平均値を基にした図3-1の $e - \log P$ 曲線をもつて、粘土層中央部の代表的な曲線とした。粘着力 C と荷重強度 P との比は実験結果によれば平均0.3であるが、前回の工事実績を勘案して安全側に0.25とした。 e と P との関係も図3-1に示してある。この曲線より目標粘着力 $3 t/m^2$ に対する間隙比は $e_1 = 2.05$ であり、これは100%圧密で $P = 16 t/m^2$ 、 $e_3 = 1.94$ の70%に相当する。又 $C = 3.5 t/m^2$ に対しては $e_2 = 1.98$ で、これは90%圧密となる。従つて粘土層は平均圧密圧 $6 t/m^2$ で圧密率70%及び90%時の粘着力は、

夫々 $C = 3 \text{ t/m}^2$ 及び 3.5 t/m^2 となる設計である。

b) 圧密荷重

粘土層中央部の圧密圧 $\geq 3 \text{ t/m}^2$ を得るためにには図 3-2 の深度 — 荷重曲線に示す如く、地盤上に 2 t/m^2 の載荷を必要とすることになるが、本地点に於ては、この荷重を一時に載荷することは地盤のにり破壊を生ずる危険があり、又工期の点より階段的に載荷を行うことが不可能であることから、地下水位の低下による圧密圧と盛土載荷とで加圧することにした。

この地下水位を低下させることはサンドパイプ内部の水圧をそれだけ低下せしめて、粘土内部の隙間水圧との差を高めて、粘土の圧密を促進させることであり、粘土に対してはそれだけ見掛けの隙間水圧が上昇することとなり、圧密圧を直接加えたと全くの結果が得られるものである。幸い本地点に於ては粘土層上部に在来の海底砂層が存在し、又埋立土砂もシルト質砂で透水係数は小さいがウェルポイントが可能であるので、在来地下水位 $SP + 2.0 \text{ m}$ を $SP - 1.50 \text{ m}$ 迄ウェルポイント工を採用して低下せしめ、残りの不足分 3.5 t/m^2 は盛土載荷によることにした。

c) サンドパイプの径、間隔及び圧密時間

サンドパイプの径及び間隔は種々検討の結果、径 (d_w) = 2.5 cm 、間隔 (d_e) = 1.50 cm と決定した。サンドパイプの総数は施工区域 $\leq 200 \text{ m}^2$ に対して $2,080$ 本となる。

圧密時間と圧密率の関係は次式、

$$\chi = \frac{d_e^2 \times T}{C_v}$$

茲に χ ; 圧密時間, C_v ; 圧密係数(水平方向)

T ; 時間係数, d_e ; サンドパイプ間隔

$$\text{より } \chi = \frac{150^2 \times T}{4.5 \times 10^{-2}} = 5 \times 10^5 \times T \text{ (min)}$$

(C_v は鉛直方向の \approx 倍をとって水平方向のものとした)

但し、 T は $\tau = \frac{de}{dw} = \frac{150}{25} = 6$ に対する時間係数で、

次の値である。

圧密率 $\bar{\epsilon}$	10%	30%	50%	70%	90%
----------------------	-----	-----	-----	-----	-----

時間係数 T	0.008	0.04	0.08	0.17	0.32
----------	-------	------	------	------	------

次に粘土中央部の圧密率と間隙水圧との関係は水頭を示した次表より圧密率 $\bar{\epsilon} = 0\%$ にて $SP + 8.0\text{m}$, 圧密率 100% にて $SP - 1.50\text{m}$ である。

表

条 件	変 化 量	水 頭
埋 立 前		$SP + 2.0$
埋土土砂によって生じた過剰水圧	4.7 t/m^2	" + 4.7
工事直前までの自然圧密による減少	- 1.5 "	" + 5.2
載荷重による過剰間隙水圧	2.8 "	" + 8.0
地 下 水 低 下 に よ り	- 1.5	" - 1.50

又、圧密沈下量は粘土層の厚さ 1.5m とすれば圧密率 20% 及び 90% で 1.10cm 及び 1.45cm 程度である。

これらの関係は図 3-3 の圧密進行曲線に示す通りである。

§.4 工事施工の概要

a) サンドパイプ工事

埋立土砂の表土 1m は構外より運搬した山土で地盤掩がしてあるので、ジェットによるサンドパイプの施工は軽石にあたって困難があるので、工事に先だってこの表土を掘削除去した。

サンドパイプ工は $3'' \times 4$ 段、 20 HP のタービンポンプ、高さ 8m のジェット打込管及び長さ 1.2m 、外径 25 cm の先端ノズルに連結される長さ 5.5m の $\frac{1}{2}''$ 、 $\frac{3}{4}''$ 及び $\frac{1}{4}''$ の鋼管 3 本による全長 18m のジェット送水用伸縮管を一組とする特許中央開発 KK 式打込設備により、打込管を計画位置に布

設されたタキタレール上に固定して、海水によるウォータージェットにより岩盤迄穿孔した。

工事設計図及び使用機械一覧表は図4-1, 2, 3に示す通りである。又、当初心配された穿孔ジェットによる排泥流の処理は図4-4に示す仮設備により灰捨地に放流した。

上記のサンドパイルの形成に当って、上部 $\sim 5m$ は砂質土であるからこの部分は $D = 10''$, $l = 4m$ のケーシングパイプをウォータージェットにより打込んで孔壁の崩壊に備えた。粘土層の孔壁が崩壊する場合は、岩盤迄ケーシングを挿入しなければならないが、幸い水洗の状況及び孔径測定結果より崩壊の恐れがないことが判明したので、ノーケーシングとし、穿孔完了後 ~ 10 分放置してジェットを撤去し、砂を人力により徐々に投入して最後に上部のケーシングパイプを引抜いて作業を完了した。サンドパイルは地下にあるので、直接その状況を確認出来ないが、孔内水洗により排出されるスライム及び流出水の透明度より推定して、充分満足な穿孔をしているものと思われ、又、投入砂の量が計算値より $\sim 20\%$ 割方増加している事より、サンドパイルの径が設計よりもやゝ大きめに形成されていると考えられる。

サンドパイル設置の実績は当初の計画 10 本/dayに対して、埋立地盤内の状況及び昼夜兼行による機械の故障等により最低 10 本/day、最高 80 本/day、平均 53.5 本/dayであり、使用機械台数 5 台で、1台当りの1日(24時間)平均打込本数は 10.7 本であった。尚、全本数 ≈ 180 本の稼働日数は2ヶ月を要した。

b) ウエルポイント工事

ウエルポイント工事は既に一般化され施工についても別に変わった事はないが、サンドパイル形成に層接してサンドパイル中にウエルポイントを設置した。図4-1, 4-2に示す様に、全区域をタブロックに分け、設置完了区域より逐次揚水を開始

した。工事規模はウェルポイント 28 本、 $\varnothing 100$ ヘッダーパイプ延長 600m 、 $\varnothing 150$ ヘッダーパイプ延長 300m であり、当初現場に於ける既往の実験結果より水位低下については危機されたが、予想より地下水は良好に低下した。各ポンプステーションは 10^3 ヒューガルノ台に対し 1000 ヴァキュームポンプ 2 台で排水量は 200 l/min 程度であった。尚、中央部の $\varnothing 150$ ヘッダーラインは所定水位低下後直ちに撤去して、 30 cm 厚の敷砂工を実施した後載荷工を実施した。

c) 工事工程表

本工事の約定、実績工程は図 4-5 に示す通りである。

§.5 調査観測並びに結果の検討

工事期間中地下水位の低下状況、圧密進行状況及び粘着力の増加を測定し改良の進む状況を判断して、当初計画に對処出来る様にした。

図 5-1 の調査工事位置図に示す様に各区域別に地下水位の観測井、圧密状況判断のために沈下板及びピエゾメーターを設置し、又粘着力増加測定用としてベーンシーテスト及びスエーデン貫入試験を現場に於て行った。

これらの観測資料及び試験結果の内、代表的な No. 2 ブロックの水位低下曲線、地盤沈下曲線及び間隙水圧変動曲線を一括して図 5-2 に示す。又、ベーンテスト及びスエーデンテストの結果は、夫々図 5-3、5-4 に示す如くである。

図 5-2 の地盤改良状況を一表にして計画と実測の数値を示せば次の如くである。

尚、No. 2 ブロックの粘土厚は設計の 1.5 m に対して 1.0 m であったので、設計値を換算して比較する。

計画 - 観測 値 比較 表

項目 単位	記号	当初	6月初		7月初		8月末		備考
			計画	実測	計画	実測	計画	実測	
地下水位 (m)	S P	+2.0	-1.50	-1.50	-1.50	-0.7	-1.5	+1.0	* 8月末ウェルポイント停止
間隙水圧 (m)	S P ^(+5.2)	+8.0	+1.8	+0.1	+0.5	-0.2	-0.5	+1.4	* サンドパイル施工前 △ ウエルポイント停止による
地盤沈下 m	m	0	1.10	1.35		1.25			粘土層15m厚で計算
圧密率 %	U		70	83	84	87	90	(90)	圧密進行曲線図参照
剪断強度 kg/cm ²	C	0.215	0.30	0.36	0.325	0.405	0.35	-	ベーンテスト結果の平均値

上記の表で、6月初めの圧密率が計画値よりも相当大きく出ているのは、計画はヶ月より圧密を開始してヶ月後の6月初めで20%の圧密が進行する設計であるが、実際には施工以前の間隙水圧が埋立土砂による過剰間隙水圧のため S P + 5.2 m に上昇して居り、従ってサンドパイル設置と共に圧密沈下を起してあり、設計の圧密圧がノーノ%作用したヶ月初めに於ては、30%の圧密が既に進んでいたためである。又、間隙水圧と地盤沈下量及び圧密率との相互関係に於て、計画数値と若干相違を来たしているが、これは計画に使用した C_c , C_v , e 等の値が、実際の粘土のそれと多少異っていたためであり、粘土層11mに反する地盤に対しては計画値と実測値とがよく一致していると言えるであろう。

上記現場試験の他にヶ月上旬より施工区域内外に於てノ8ヶ所のボーリングを実施し各ヶ所を本当にシン オールサンプリングによりソイルテストを実施して土質改良状況を確めた結

果からも、上記の現場観測及び試験の妥当性が判明した。然し乍ら φ_u 及び C の値についてはベーンテスト、スエーデンテストの結果から予想した値よりも少々低い $C = 0.248$, $\varphi = 0.488$ の値が出た。これは事前調査の場合と全様に、粘土が余りにも鋭敏なため、サンプリング及び試験の過程において若干の攪乱がかけられなかつたことによるもので、この事は一軸圧縮試験の応力一歪曲線の形にもよく現れている。

従つて、超鋭敏な粘土の粘着力については現場試験の結果に重点を置いて考えるべきであり、観測による誤差を考慮して若干割引いて考えても、所期の粘着力が得られたものと判断される。

むすび

本工事は所期の目的を充分達成したものであるが、隣接地点で前年行ったペデ櫛による鋼管打込式のサンドドレン地域は未だ粘着力の恢復が認められない。これはこの現場のような超鋭敏な粘土地盤に対しては特に自然状態を攪乱させないことが強く要望される事を示している。又、本工事を採用したウェルポイントによる地下水低下による圧密圧はノロウ%計算通り作用するものであり、工期の短い軟弱地盤改良工事に於ては極めて有利であり、現場の状態によつては真空効果をも期待出来ることであろう。今回のこの様な工事に於て、鋭敏な粘土に対しては現場試験の必要を痛感した。出来得る限りの現場観測及び試験の実施を強調してむすびとする。

最後に、本工事の御指導を戴いた東北大学河上教授、並びに計画施工に当つて並々ならぬ努力をして戴いた中央開発KK戸部技师をはじめ現場の工事関係者に深く感謝の意を捧げる次第である。

図 1 仙台火力発電所構内一般平面図

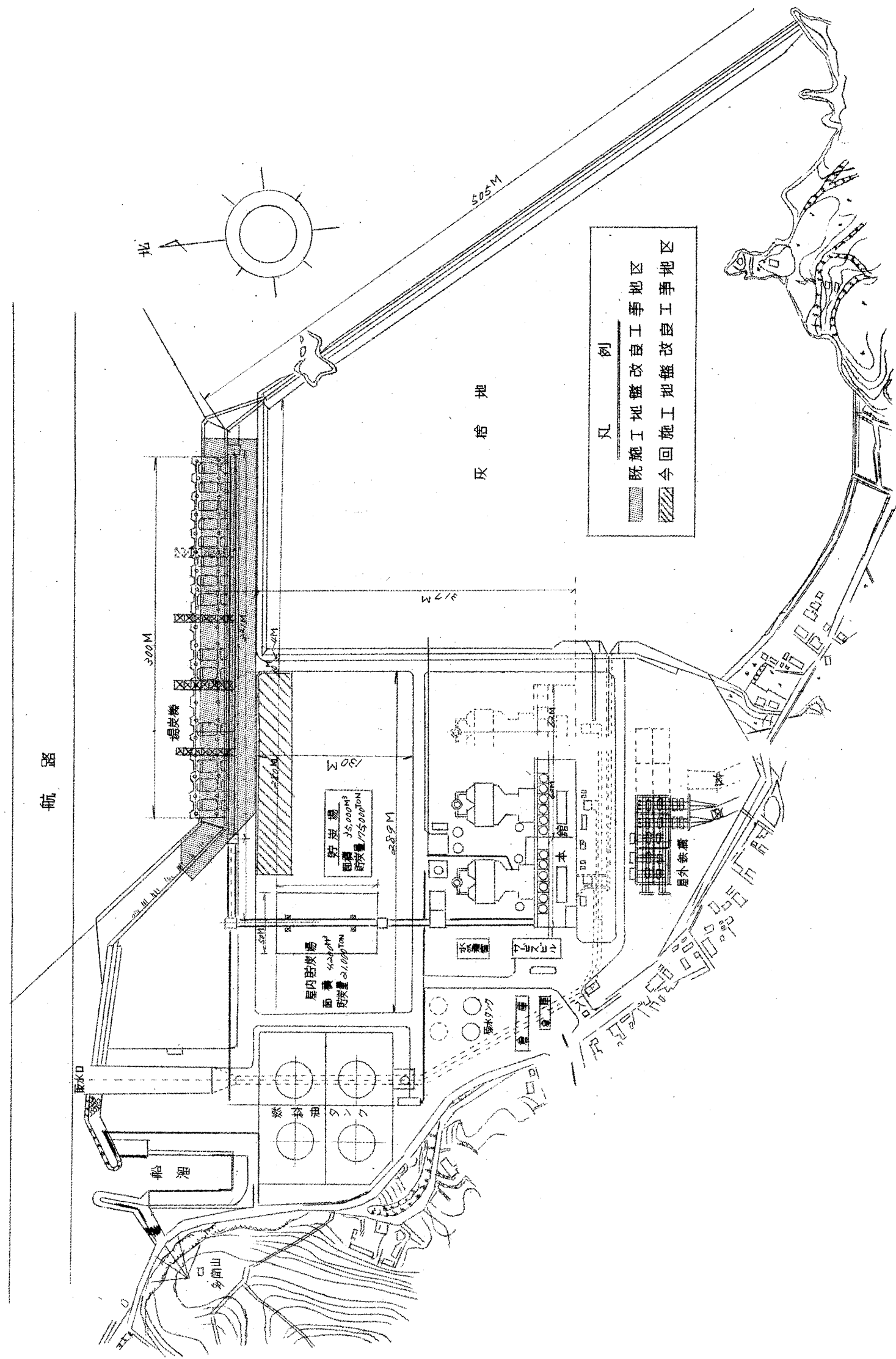


図2-1

貯炭による岸壁に対する安定計算

$$S = \frac{1}{1,000}$$

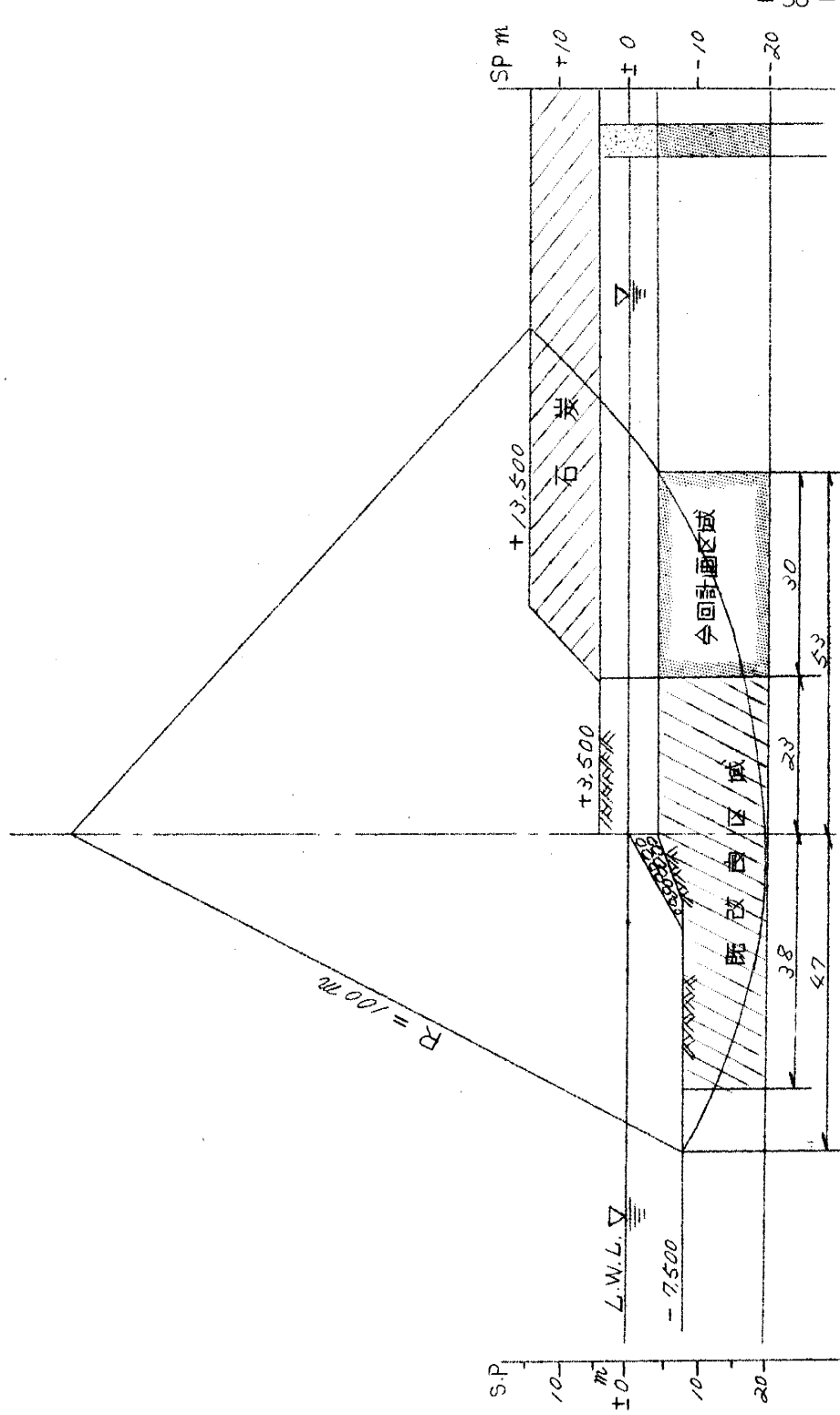


図 3-1 圧密試験：荷重強度－間隙比曲線

Sample No.

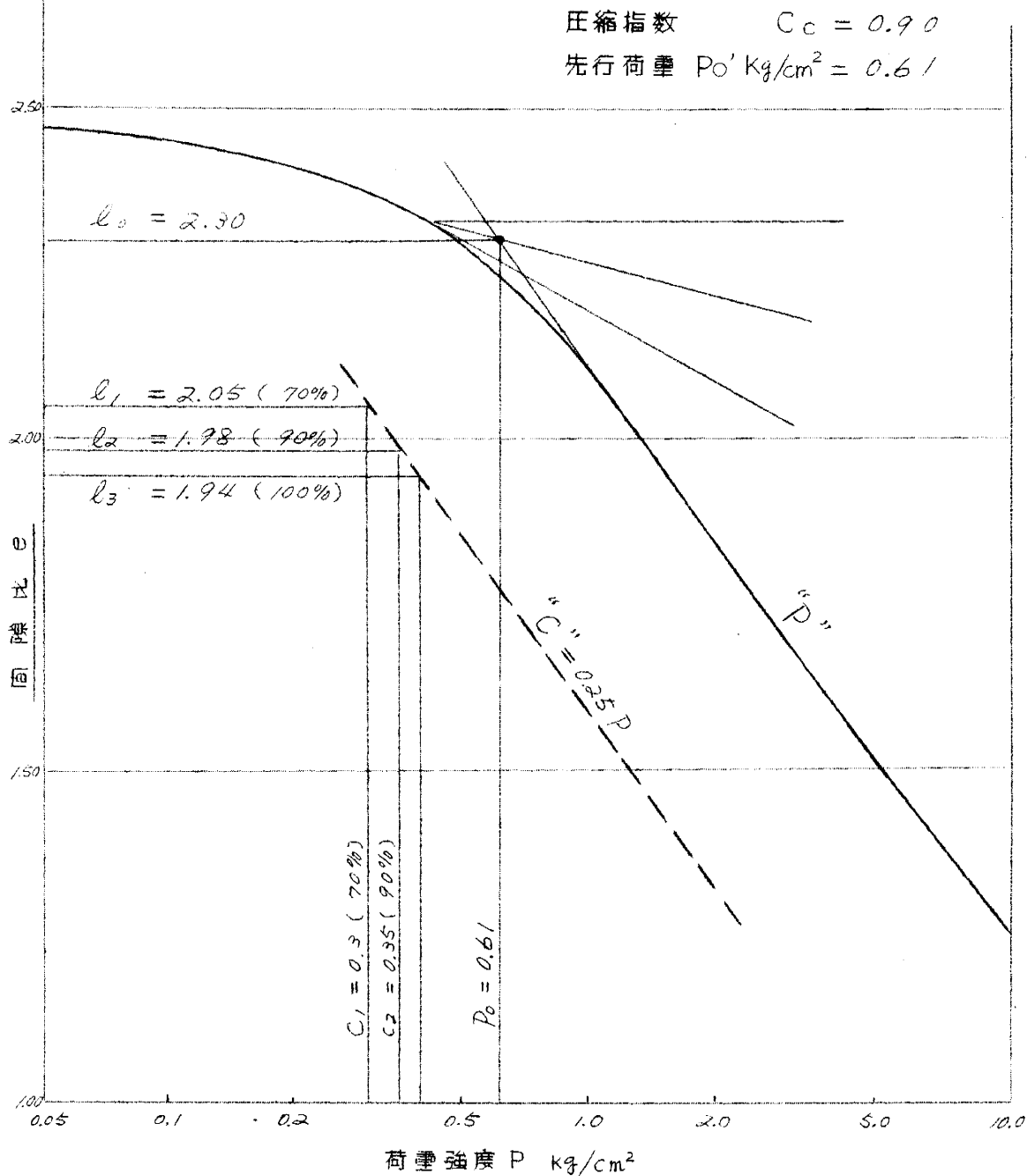


図 3-2 深度一有効圧曲線

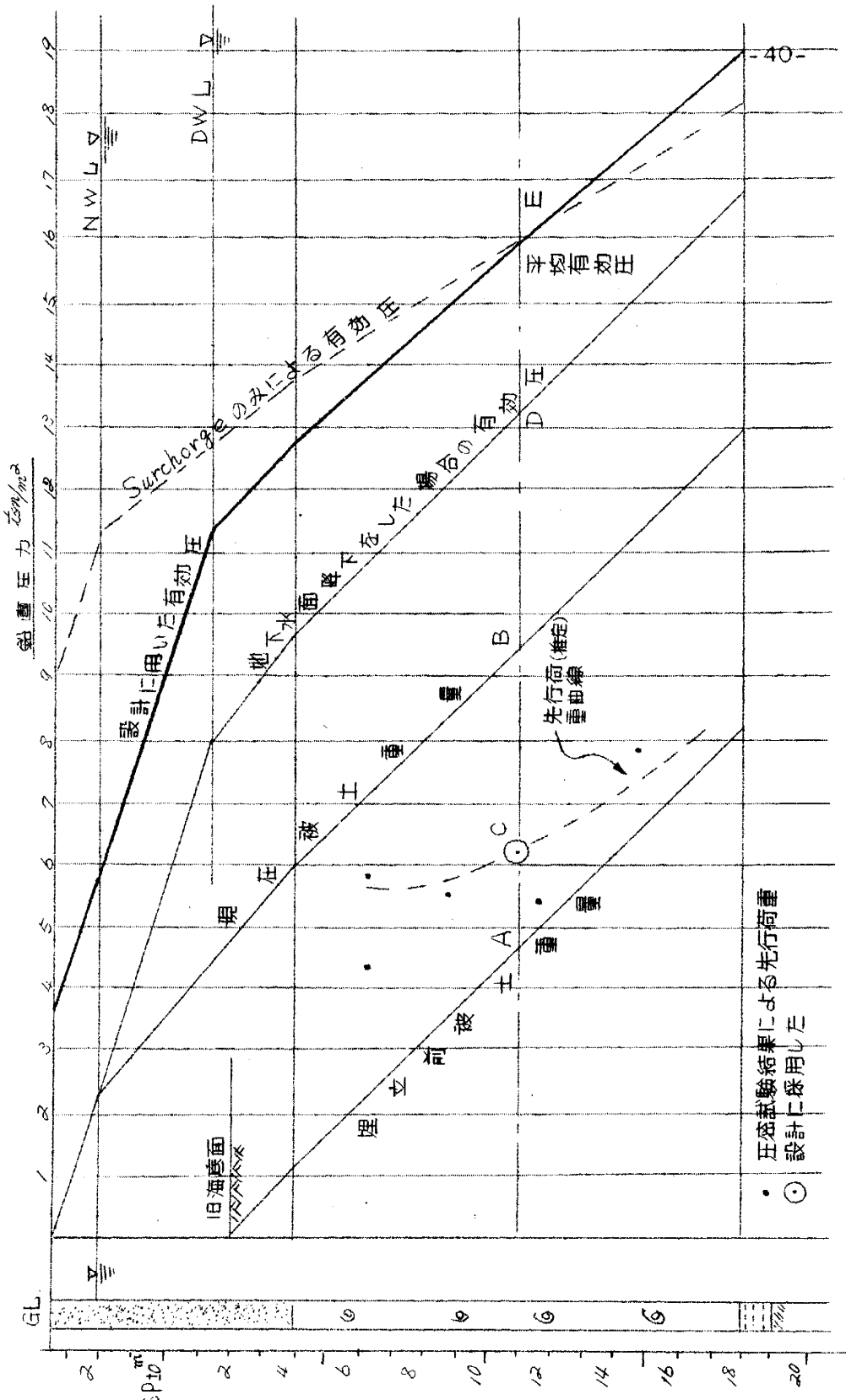


図 3-3 压縮進行曲線

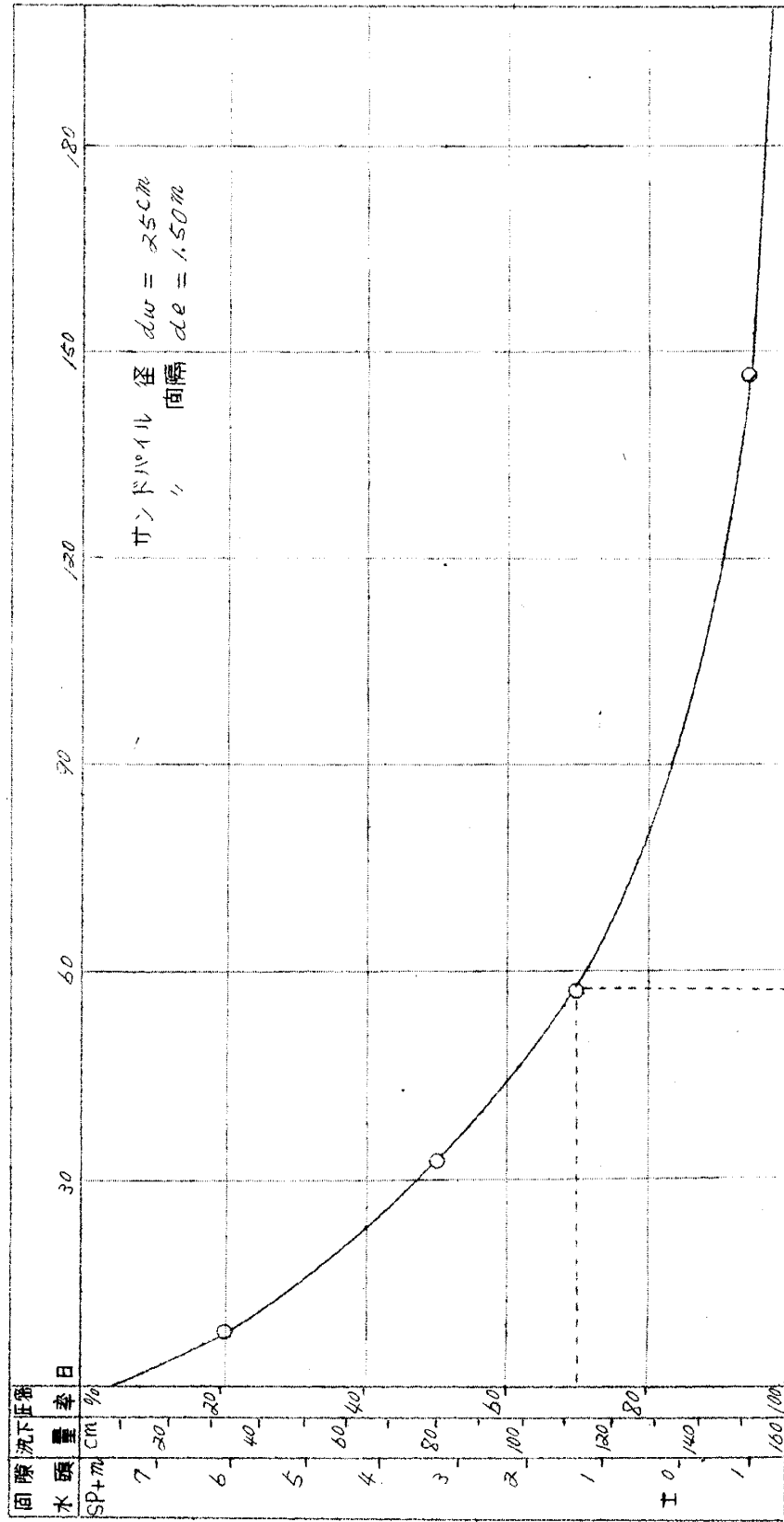


図 4-1 サンドドドレーン、ウェルボーリント工事平面図

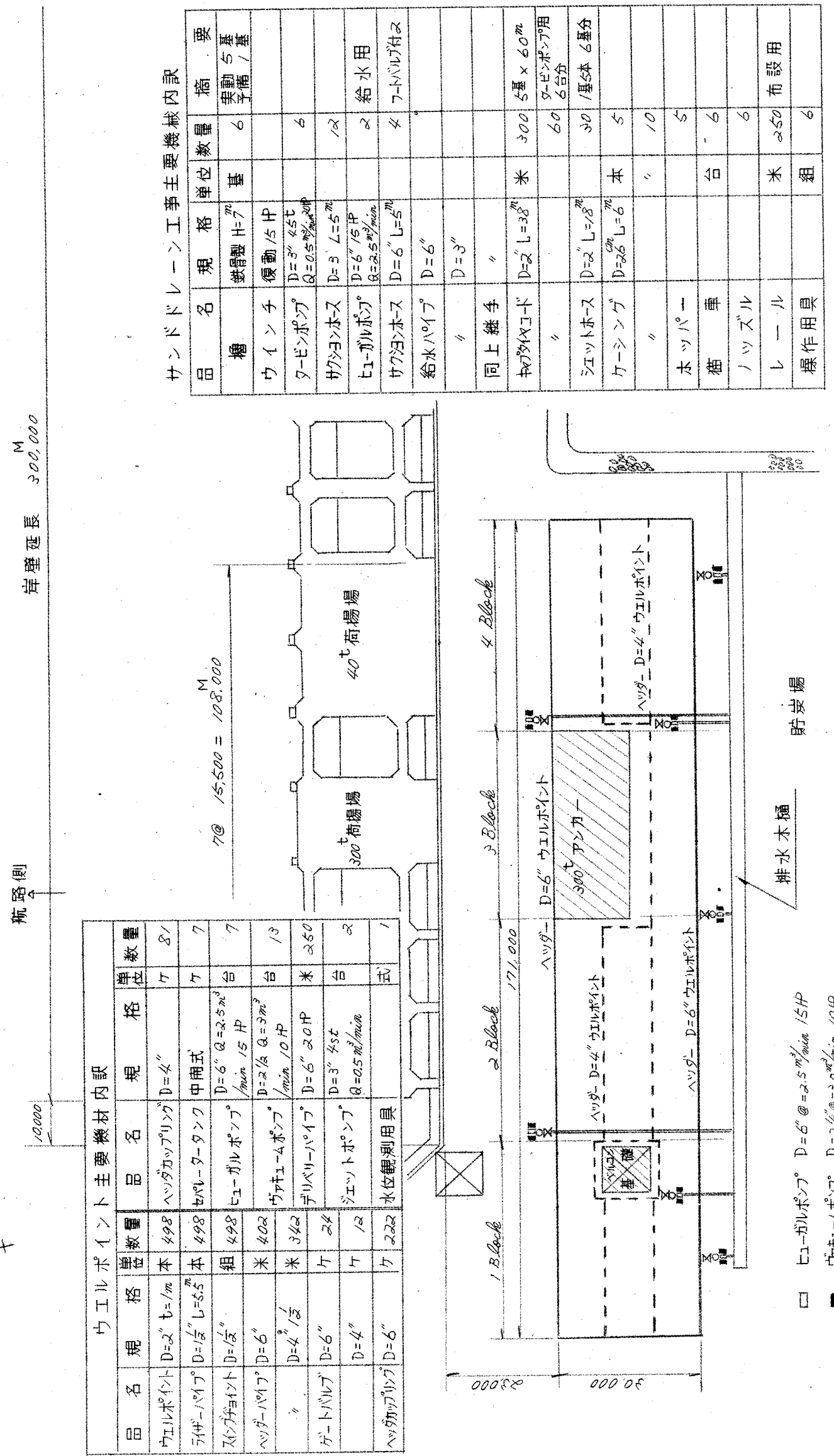


図 4-2 サンドパイプ、ウエルボイント工事断面図

$S = 1/200$

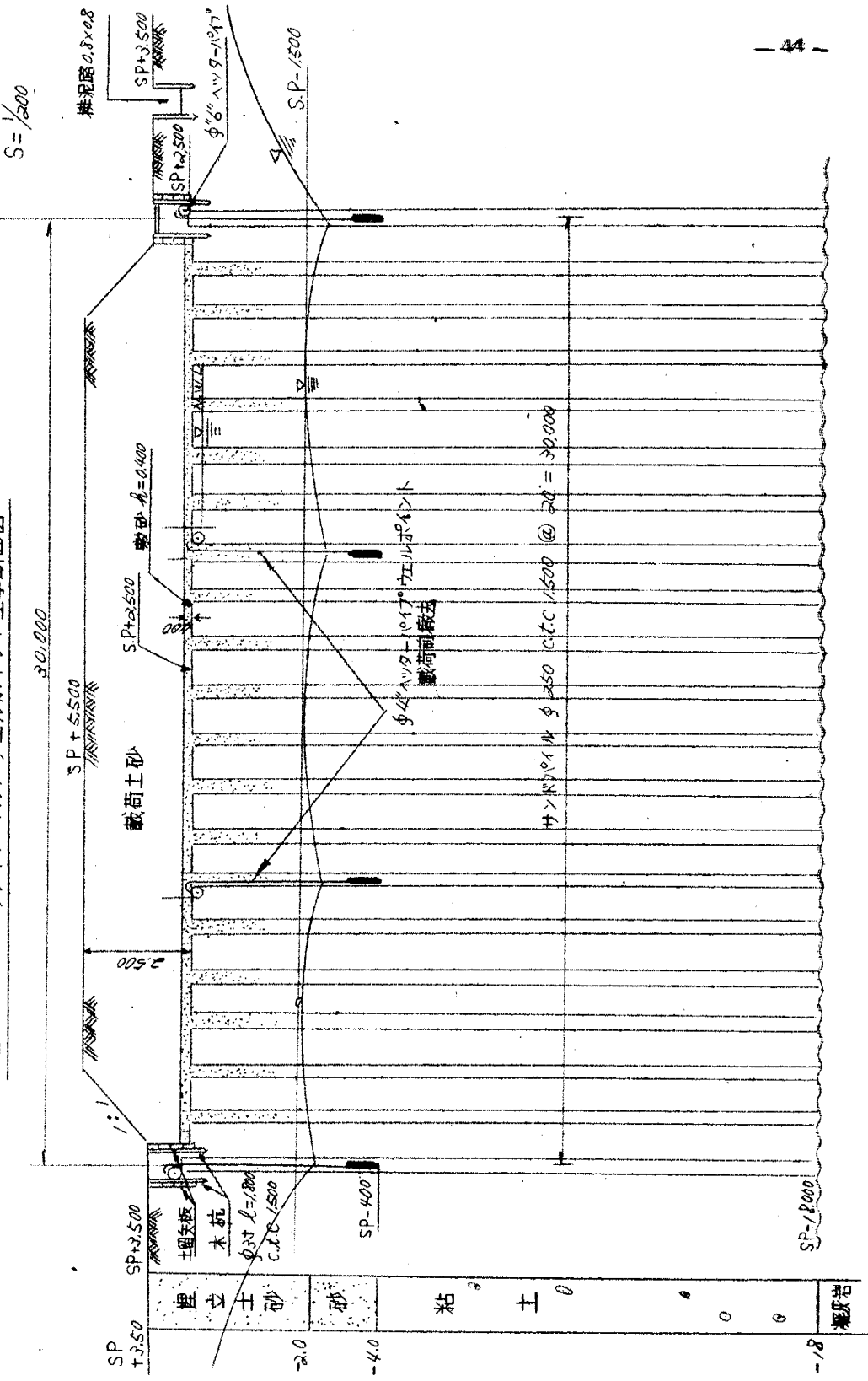


圖 4-5 貯炭場地盤改良工事，約定，表

۱۰۷

45 --

程工定約

図5-1 調査工事位置図 $S = 1/1,000$

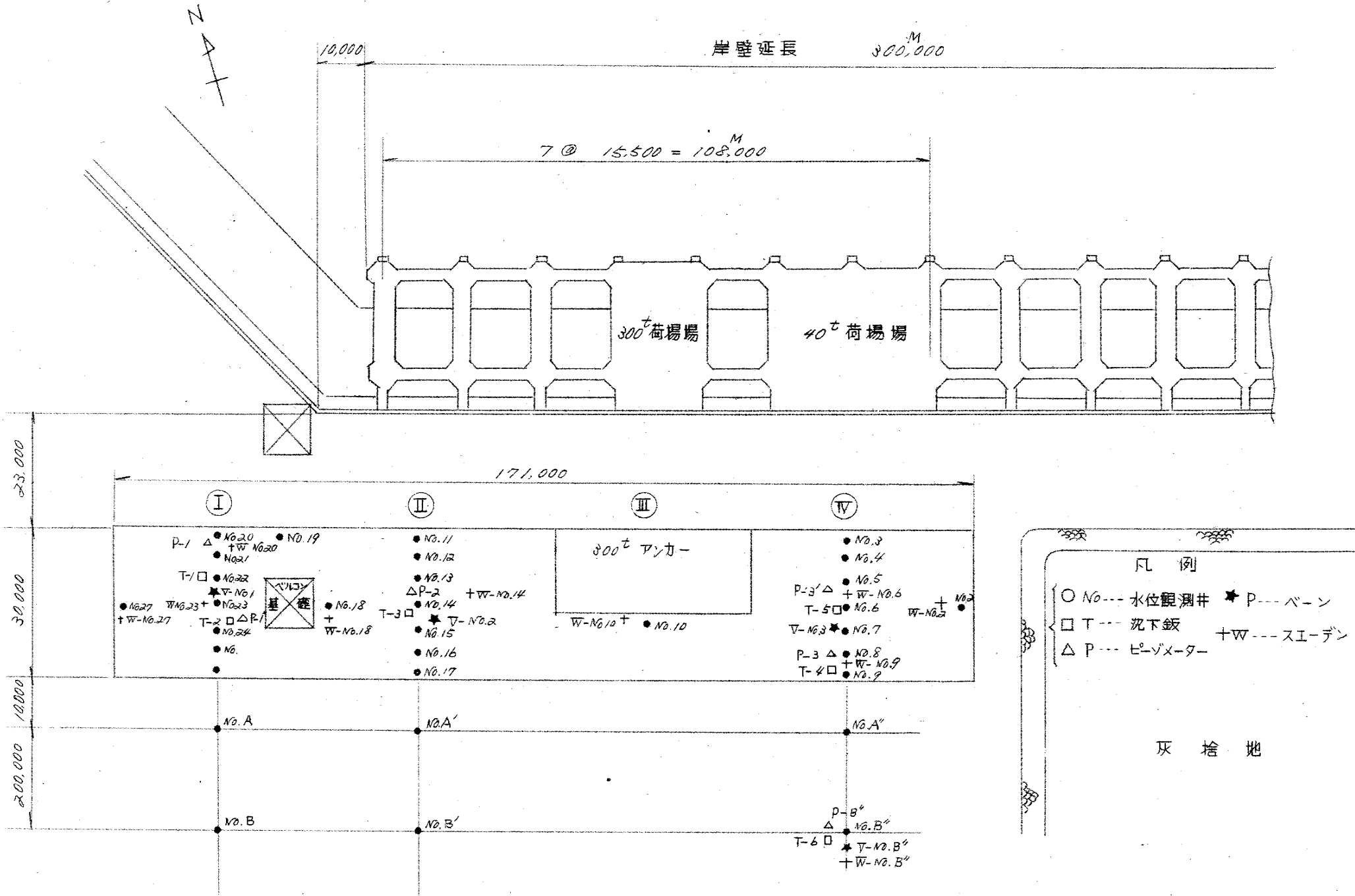


図 5-2 下水位間隙水圧

-48~49-

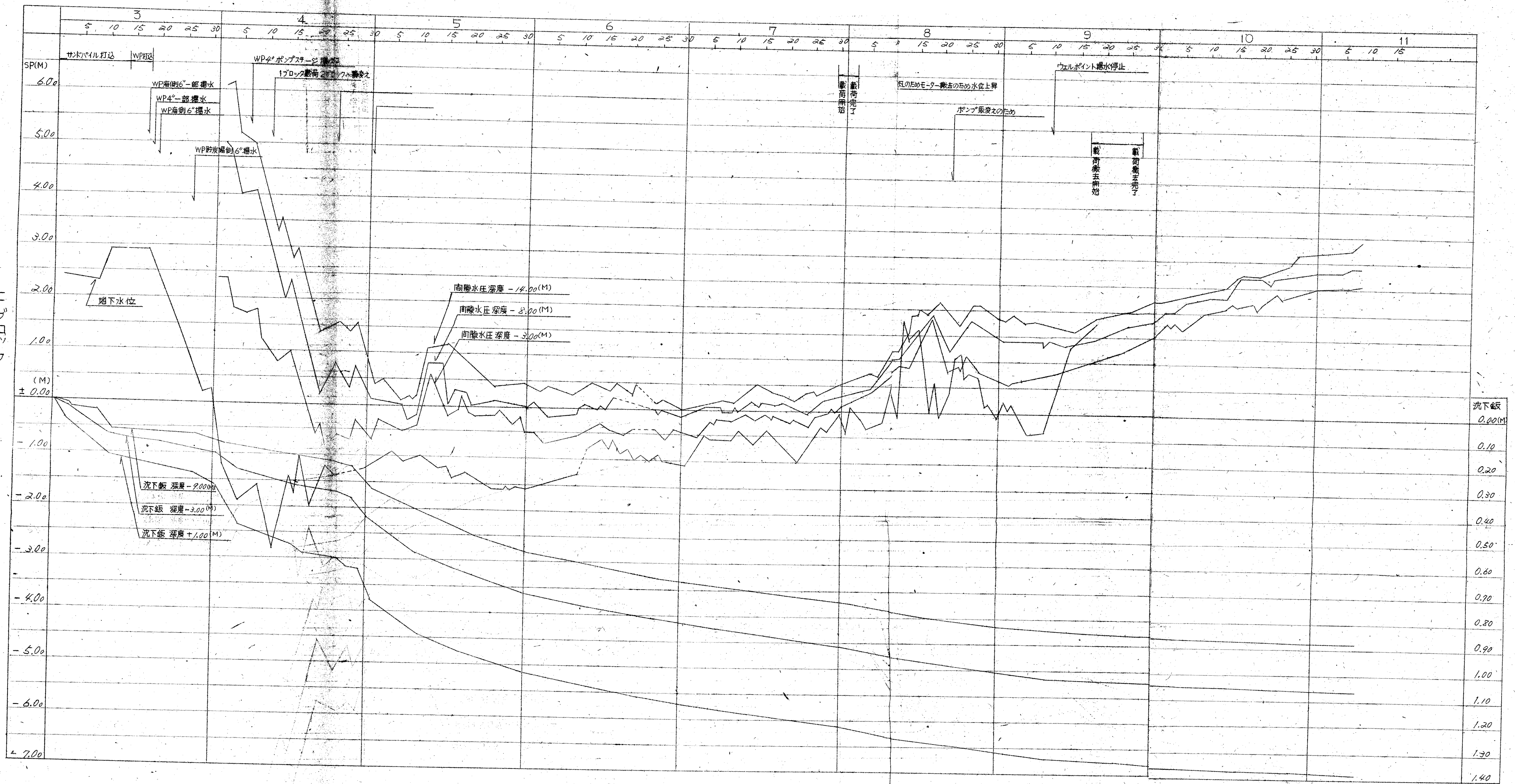
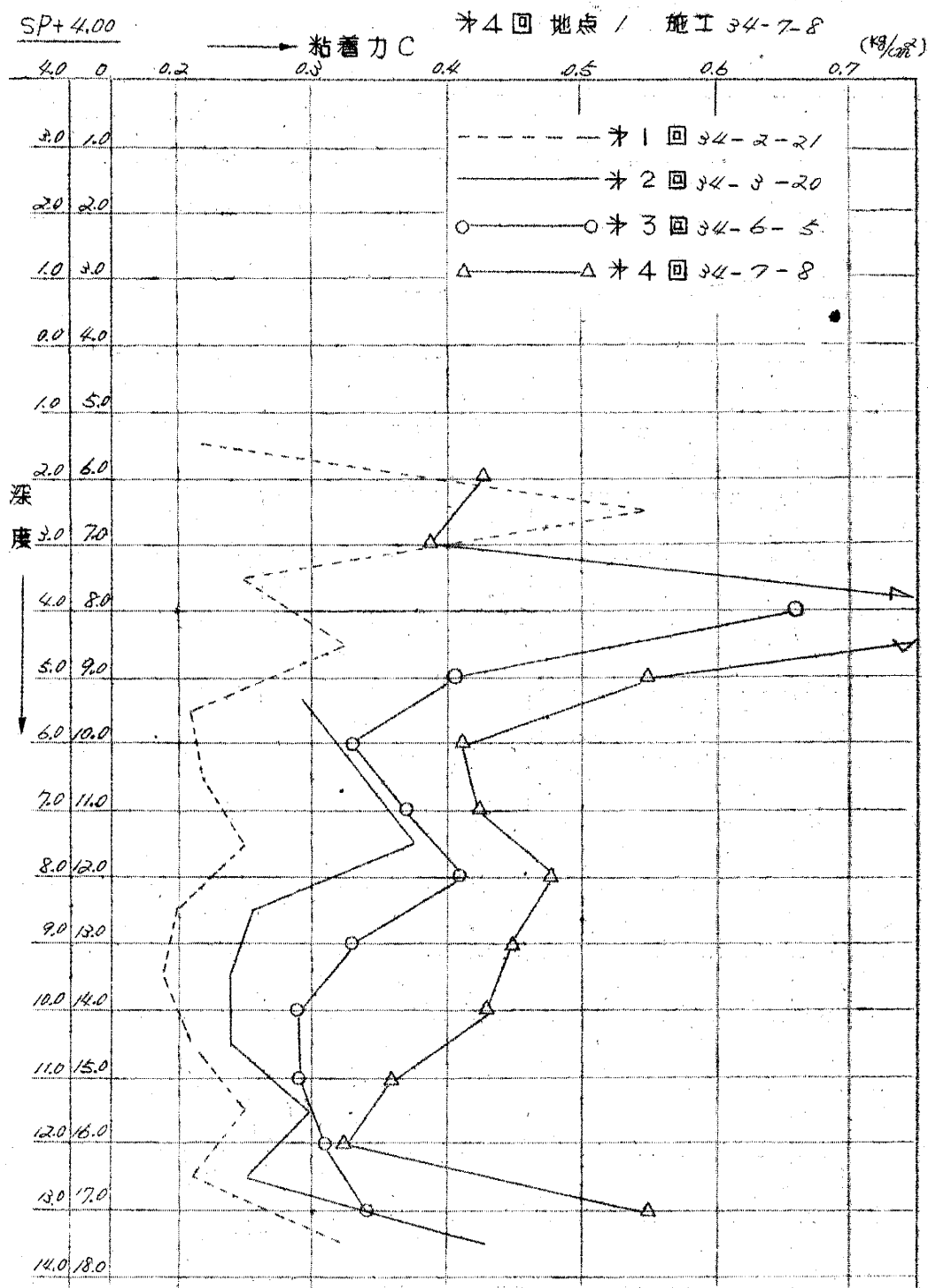


図5-3 仙台火力貯炭場 Vane Test ▽-No.1



- 51 -

図 5-4 仙台火力貯炭場 Swedish Sounding Test

